

Quantum mechanical calculations of some hydrazones (Schiff 's bases) derived from benzoic acid hydrazide using the MINDO/3-FORCES model

**حسابات ميكانيك الكم لبعض مركبات الهيدرازون (قواعد شف)
والمشتقة من حامض البنزويك هيدرازيد بأسلوب الميندو/3-فورسيز**

جعفر حسين علي و لؤي جابر عبد علي
قسم الكيمياء ، كلية العلوم ، جامعة كربلاء

الخلاصة

تم استخدام احدى الطرق الشبه تجريبية وهو نموذج الميندو/3-فورسيز(MINDO/3-FORCES) في حسابات ميكانيك الكم لجزئيات (حامض البنزويك هيدرازيد(I) والهيدرازونات المشتقة منه II و III و IV و V و VI) حيث تم حساب الشكل الهندسي المتوازن (أطوال الأواصر والزوايا) ، الشحنات والكتافات الالكترونية ، حرارة التكون ، عزم ثنائي القطب ، طاقة أعلى مدار جزيئي مشغول (HOMO) ، طاقة أوسطاً مدار جزيئي غير مشغول (LUMO) ، فجوة الطاقة ، جهد التأين ، الالفنة الالكترونية ، الكهروسلبية ، صلابة الجزيئية ، الالكتروفيلاية ، الدوال الديناميكية الحرارية القياسية U^0 ، G^0 ، A^0 ، S^0 ، H^0 ، C^0 ، N^0 من ترددات الاهتزاز لأشعة تحت الحمراء وشدد الامتصاص المقابلة لها ، كما تم تشخيص ترددات الاهتزاز الأساسية الناتجة لكلا جزيئات السنة المدرسة ، وقد لوحظ ان الهيدرازونات المعيشة بمجاميع ساحبة للألكترونات ذات قيم اكبر في عزم ثنائي القطب ، فجوة الطاقة ، الكهروسلبية ، الصلابة الكيميائية والالكتروفيلاية من تلك المعيشة بمجاميع دافعة للألكترونات ، الا ان الاخيرة لها قابلية اعلى لفقدان الالكترونات ، كما ان لها قيم اعلى للدواال الديناميكية الحرارية القياسية.

Abstract

Quantum mechanical calculations by the one of semi-empirical method (MINDO/3-FORCES) model were applied for (Hydrazones molecules (II,III,IV,V,VI) derived from benzoic acid hydrazide (I)) The equilibrium geometries (lengths of bonds and angles) , charge and electron densities 'heats of formation 'dipole moments , energies of HOMO and LUMO orbital , energy gab, ionization potential 'electron affinity , electronegativity , chemical hardness , electrophilicity , the standard thermodynamics functions U^0 ، H^0 ، S^0 ، G^0 and A^0 and the 3N-6 fundamental vibration frequencies along with their corresponding IR absorption intensities were calculated . The assignment for each one of the fundamental frequencies were also estimated , for all the 6 molecules was shown that hydrazones substituted with strong electron-withdrawing group has the higher values dipole moments , energy gab , electronegativity , chemical hardness and electrophilicity from that has substituents electron releasing group but the latest has a higher portability the loss and gain electrons and the higest of all standard thermodynamics functions.

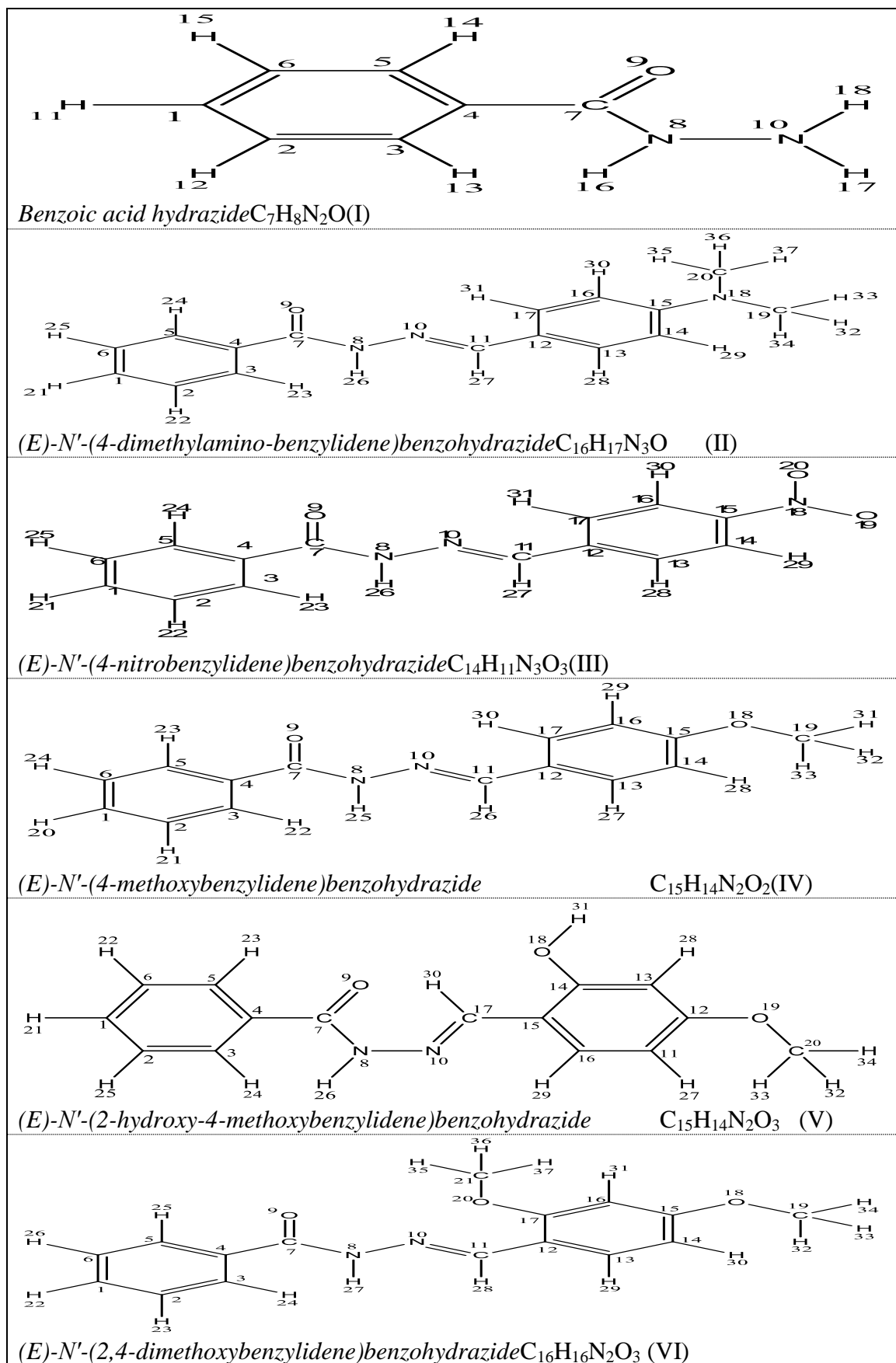
المقدمة Introduction

المركبات الحاوية على مجموعة ازوميثين ($-C=N-$)⁽¹⁾ والتي حضرت اول مرة من قبل العالم هوغو شف (Hugo Schiff) عام (1864) ، وذلك من تكافف بسيط بين الديهايدات او الكيتونات مع الامينات الاولية الاليافانية او الاروماتية^(2,3) ، أخذت تنافس مجموعة الكاربونييل ($C=O$) بوصفها مجموعة فعالة في الكيمياء العضوية وفي بعض الاحيان تفوقها من حيث قابليتها على تكوين المعقّدات⁽⁴⁾ . وفي حال تكافف هيدرازيدات الحوامض مع الديهايدات في مذيبات ملائمة فإن نواتج التكثيف تدعى الهيدرازونات⁽⁵⁾ وتنماز الهيدرازونات المشتقة من الديهايدات اروماتية باستقراريتها العالية نتيجة ظاهرة التبادل (Conjugation)⁽⁶⁾ مقارنة مع تلك المشتقة من الديهايدات اليافانية.

وهذه المركبات ومشتقاتها يمكن استخدامها كمضادات للبكتيريا والفطريات⁽⁷⁾ وعلاوة على ذلك فقد استخدمت الكثير من قواعد شف في المجالات الطبية والصيدلانية⁽⁸⁾ كمضادات للسرطان ومنشطة للإدرار^(10,9) ، كما وقد لعبت قواعد شف دورا هاما في تطوير الكيمياء التناسقية لأنها تشكل بسهولة معقّدات مستقرة مع معظم العناصر الانتقالية وتضفي خواص بایولوجیة وصناعية مهمة جدا للمعقّدات المحضررة⁽¹¹⁾ .

وفي بحثنا هذا تم اجراء حسابات لميكانيك الكم لحامض البنزويك هيدرازيد وبعض الهيدرازونات المشتقه منه باستخدام الطريقة النظرية الشبه تجريبية⁽¹²⁾ (MINDO/3-FORCES) والتي اقترحها من قبل شنيل وجماعه⁽¹³⁾ حيث تم في هذا النموذج الدمج ما بين طريقة الـ (MINDO/3) المقدمة من قبل ديوار وجماعه⁽¹⁴⁾ لحل معادلة شروdonker بصيغة روتھان-هال وهارتري-فوك مع طريقة القوى ليولاي لاشتقاق الطاقة الكليلية بدالة الإحداثيات لذراتها⁽¹⁵⁾ وذلك باستخدام أسلوب مورتك وسارجنت (Murtgh-Sargent) في عملية تخفيض الطاقة⁽¹⁶⁾. والهدف من هذه الدراسة هو معرفة الشكل الهندسي المتوازن، حرارة التكوير ، الدوال الترموديناميكية القياسية ، عزم ثانوي القطب ، الشحنات والكتافات الالكترونية ، ترددات الاهتزاز وشدد الامتصاص لأشعة تحت الحمراء المقابلة لها كما تم حساب طاقة أعلى مدار جزيئي مشغول (HOMO) ، طاقة أوطأ مدار جزيئي غير مشغول (LUMO) ومن طاقة المدارات وحسب نظرية كوبمان (Koopman's Theory)^(17,44) (والتي تنص على ان طاقة الثنائي الاولى للنظام الجزيئي تساوي تقريبا طاقة أعلى مدار جزيئي مشغول بعكس الاشارة ، وان طاقة الالفة الالكترونية تساوي تقريبا طاقة اوطأ مدار جزيئي غير مشغول وبعكس الاشارة) تم حساب (جهد الثنائي ، الالفة الالكترونية ، الكهروسليبية⁽¹⁸⁾ ، صلابة ولدونة الجزيئية ، فجوة الطاقة و الالكتروفيليية) للجزيئات (حامض البنزويك هيدرازيد I والهيدرازونات المشتقه منه II ، III ، IV ، V ، VI ، شكل 1) وبالاعتماد على نظرية المجموعة (Group Theory)⁽¹⁹⁾ وجد ان جميع الجزيئات المدروسة تتبع الى مجموعة النقطة (C₁) ولعرض تشخيص الترددات تمت الاستعانة ببرنامج الرسم (DRAW MOL) فضلاً عن حساب المساهمة الجزيئية لكل ذرة في النمط الاهتزازي وبعد (3N-6) وتعتبر هذه الطريقة من افضل الطرق واسرعها اذ تشقق القوة اشتقاها عدديا واحدا، فلامجال لتكرار الخطأ المحتمل⁽²⁰⁾ وقد تم التوصل إلى معرفة دقة هذه الطريقة من خلال المقارنة بين النتائج المحسوبة من هذه الطريقة وطرق الحساب الأخرى والذي اثبت ومن خلال حساب العديد من الجزيئات⁽²¹⁾ تبين ان هذه الطريقة هي الأفضل في الجزء المتعلق بحساب ترددات طيف الأشعة تحت الحمراء وبان نتائجه هي الأقرب للقيم التجريبية مقارنة بالنتائج المعتمدة على طرق حساب اخرى⁽²²⁾.

(شكل 1) الشكل الفراغي للمركبات المدروسة مع ترقيم الذرات وفقاً للنتائج المستحصلة من برنامج الحساب ميندو-3-فورسيز



النتائج والمناقشة

الشكل الهندسي المتوازن (الأقل طاقة) (Balanced Geometric Figure (low energy))

تم في هذا البحث دراسة الابعاد بين الذرات في الاشكال الهندسية الاقل طاقة حيث تم حساب اطوال الاواصر بوحدة (الانكستروم) كما مبين في (الجدول 1)، وقد لوحظ لجميع الجزيئات المدروسة ، ان طول الاصرة (N-N) كانت الاطول في جزيئة حامض البنزويك هيبرازيد (الغير معوضه) وترجت اطوال الجزيئات المعوضة (V>VI>II>IV>III) ، وقد يعود السبب الى اختلاف المجموعة على الحلقة الاروماتية كونها (ساحبة او دافعة) للإلكترونات وترجتها بالقوة وكذلك لاختلاف موقع التعييض ان كان في الموقع بارا او اورثو وكذلك تتأثر بالشكل الفراغي للمركب ككل ، كما ان اطوال اواصر-C() في الحلقة الاروماتية المعوضة والمجاورة لموقع التعييض في الجزيئه (II) والمجموعة بمجموعة ثانية مثل امينو الدافعة بالرنين تكون اطول من نظيرتها في الجزيئه الحاوية مجموعة النيترو (NO₂-) الساحبة للإلكترونات ، ومما يدعم هذا التفسير ان طول اصرة (C₁₅-N₁₈) في الجزيئه (III) اطول بكثير من نظيرتها في الجزيئه (II) .

اما بالنسبة لقيم زوايا التأصروف من ملاحظة (الجدول 1) ان تسلسل الزوايا التي تمركزت عليها المجموعة المعوضة (C₁₄C₁₅C₁₆) قد تدرجت في قيمها كما يلي : أما الزوايا المجاورة لزوايا المجاورة عندما تقل احدها بسب الموضع على العكس من الترتيب اعلاه بالضبط ، وذلك متوقع في الحلقة الواحدة بالنسبة للزوايا المتجاورة عندما تقل احدها بسب الموضع عليها تكبر قيمة الزوايا المجاورة لها لتعويض الشد الحالى على الحلقة ،اما بالنسبة للتترتيب في اي من الحالتين اعلاه فيعود الى اختلاف تأثير المجموعة المعوضة من حيث الحيث الساحب والداعف للإلكترونات بالإضافة الى حجمها وموقعها (بارا او اورثو) ، فقد لوحظ ان الزوايا التي تمركزت عليها مجموعة ساحبة تكون اكبر من تلك المجموعة بمجاميع دافعه . ومن ذلك نستنتج ان الشكل الهندسي يتغير تبعاً لموقع المجموعة المعوضة وحجمها وحثها (الساحب والداعف) وصولاً الى الشكل الهندسي الاكثر استقراراً ذو الطاقة الاقل ، وهو الشكل الذي يحصل فيه اقل تناقض بين الاوربيتالات بحيث يكون في هذه الادنى مما يؤدي الى تغير في قيم الزوايا واطوال الاواصر⁽⁴⁵⁾.

(جدول 1) بعض اطوال الاواصر (بالانكستروم) وبعض الزوايا (بالدرجة) للجزيئات المدروسة

C ₇ H ₈ N ₂ O (I)	C ₁₆ H ₁₇ N ₃ O (II)	C ₁₄ H ₁₁ N ₃ O ₃ (III)	C ₁₅ H ₁₄ N ₂ O ₂ (IV)	C ₁₅ H ₁₄ N ₂ O ₃ (V)	C ₁₆ H ₁₆ N ₂ O ₃ (VI)
Geometric parameter	Mindo/3-forces	Geometric parameter	Mindo/3-forces	Geometric parameter	Mindo/3-forces
C ₁ – H ₁₁	1.105	C ₇ – N ₈	1.367	C ₇ – N ₈	1.372
C ₂ – C ₃	1.405	C ₇ – O ₉	1.217	C ₇ – O ₉	1.215
C ₂ – H ₁₂	1.105	N ₈ – N ₁₀	1.292	N ₈ – N ₁₀	1.287
C ₃ – C ₄	1.425	N ₈ – H ₂₆	1.051	N ₈ – H ₂₆	1.049
C ₃ – H ₁₃	1.107	N ₁₀ – C ₁₁	1.271	N ₁₀ – C ₁₁	1.267
C ₄ – C ₅	1.425	C ₁₁ – C ₁₂	1.480	C ₁₁ – C ₁₂	1.487
C ₄ – C ₇	1.507	C ₁₃ – C ₁₄	1.398	C ₁₃ – C ₁₄	1.403
C ₅ – C ₆	1.405	C ₁₄ – C ₁₅	1.432	C ₁₄ – C ₁₅	1.421
C ₅ – H ₁₄	1.107	C ₁₅ – C ₁₆	1.431	C ₁₅ – C ₁₆	1.421
C ₆ – H ₁₅	1.105	C ₁₅ – N ₁₈	1.399	C ₁₅ – N ₁₈	1.434
C ₇ – N ₈	1.359	C ₁₆ – C ₁₇	1.403	C ₁₆ – C ₁₇	1.404
C ₇ – O ₉	1.218	N ₁₈ – C ₁₉	1.427	N ₁₈ – O ₁₉	1.226
N ₈ – N ₁₀	1.322	N ₁₈ – C ₂₀	1.427	N ₁₈ – O ₂₀	1.227
<C ₃ C ₄ C ₅	116.0	<C ₁₄ C ₁₅ C ₁₆	114.8	<C ₁₄ C ₁₅ C ₁₆	117.7
<N ₈ C ₇ O ₉	122.7	<C ₁₃ C ₁₄ C ₁₅	121.9	<C ₁₃ C ₁₄ C ₁₅	120.7

الكثافات الالكترونية Electron densities

من خلال استقراء النتائج المحسوبة في (الجدول 2) والخاص بالكثافات الالكترونية للذرات في المركبات المدروسة ، نلاحظ ان ترتيب الكثافات الالكترونية لذرة النيتروجين (N₁₀) جاء : (I>V>VI>II>IV>III) يعود السبب في ذلك الى تأثير المجاميع الدافعة حيث تعتبر مجاميع منشطة للحلقة الاروماتية تزيد الكثافة الالكترونية في الموقع بارا او اورثو ومن ثم على اصرة قاعدة شف المزدوجة مما يزيد من الكثافة على النيتروجين وعلى العكس في المجاميع الساحبة للإلكترونات وكذلك في المركب الاساسي الغير معوض تكون اقل كثافة لذرة النيتروجين مما للمركبات الاخرى المحسوبة⁽⁴⁶⁾.

اما بالنسبة للكثافة الالكترونية لذرة الكاربون في الموقع بارا من الحلقة الاروماتية المعوضة (V>VI>II>IV>III) بينما كثافة ذرة الكاربون في الموقع اورثو للمركبين (5,6) تدرجت (VI>V>VI) نلاحظ انخفاض الكثافة الالكترونية لذرات الكاربون المرتبطة بمجاميع دافعة للإلكترونات وتزداد كثافتها حينما ترتبط بمجاميع ساحبة و يعود السبب الى كون المجاميع

الدافعة تعتبر منشطة للحلقة الاروماتية تزيد الكثافة الالكترونية في الموقع اورثو وبارا في حين تقل على ذرة الكاربون المرتبطة بها ، بينما المجاميع الساحبة متبطه ضعيفه للحلقة الاروماتية حيث تعتبر مجاميع غنية بالإلكترونات تمنح الحلقة الاروماتية الالكترونات بواسطه الرنين وتقل من الكثافة الالكترونية في الموقع بارا وارثو بينما تزداد على ذرة الكاربون المرتبطة بها مباشرة⁽⁴⁷⁾ .

(جدول 2) بعض الكثافات الالكترونية لمدارات الذرات الخارجية للجزئيات

C ₇ H ₈ N ₂ O (I)		C ₁₆ H ₁₇ N ₃ O (II)		C ₁₄ H ₁₁ N ₃ O ₃ (III)		C ₁₅ H ₁₄ N ₂ O ₂ (IV)		C ₁₅ H ₁₄ N ₂ O ₃ (V)		C ₁₆ H ₁₆ N ₂ O ₃ (VI)	
Atom Symbol	Electron density	Atom Symbol	Electron density	Atom Symbol	Electron density	Atom Symbol	Electron density	Atom Symbol	Electron density	Atom Symbol	Electron density
C ₁	3.971	C ₁	3.970	C ₁	3.969	C ₁	3.970	C ₁	3.974	C ₁	3.971
C ₂	4.003	C ₂	4.004	C ₂	4.003	C ₂	4.005	C ₂	4.005	C ₂	4.004
C ₃	3.958	C ₃	3.962	C ₃	3.958	C ₃	3.962	C ₃	3.957	C ₃	3.963
C ₄	4.096	C ₄	4.097	C ₄	4.099	C ₄	4.098	C ₄	4.095	C ₄	4.096
C ₅	3.960	C ₅	3.955	C ₅	3.958	C ₅	3.953	C ₅	3.967	C ₅	3.955
C ₆	4.003	C ₆	4.006	C ₆	4.003	C ₆	4.006	C ₆	4.004	C ₆	4.006
C ₇	3.378	C ₇	3.388	C ₇	3.382	C ₇	3.388	C ₇	3.415	C ₇	3.389
N ₈	5.124	N ₈	5.095	N ₈	5.100	N ₈	5.096	N ₈	5.108	N ₈	5.094
O ₉	6.565	O ₉	6.562	O ₉	6.553	O ₉	6.561	O ₉	6.563	O ₉	6.566
N ₁₀	4.970	N ₁₀	4.997	N ₁₀	4.974	N ₁₀	4.996	N ₁₀	5.065	N ₁₀	5.003
H ₁₁	1.004	C ₁₁	3.911	C ₁₁	3.954	C ₁₁	3.913	C ₁₁	4.237	C ₁₁	3.874
H ₁₂	.998	C ₁₂	4.030	C ₁₂	3.925	C ₁₂	4.031	C ₁₂	3.527	C ₁₂	4.166
H ₁₃	1.009	C ₁₃	3.943	C ₁₃	4.008	C ₁₃	3.942	C ₁₃	4.307	C ₁₃	3.881
H ₁₄	1.011	C ₁₄	4.096	C ₁₄	3.936	C ₁₄	4.122	C ₁₄	3.548	C ₁₄	4.203
H ₁₅	.998	C ₁₅	3.823	C ₁₅	4.162	C ₁₅	3.607	C ₁₅	4.166	C ₁₅	3.529
H ₁₆	.992	C ₁₆	4.097	C ₁₆	3.936	C ₁₆	4.143	C ₁₆	3.872	C ₁₆	4.329
H ₁₇	.980	C ₁₇	3.942	C ₁₇	4.008	C ₁₇	3.936	C ₁₇	3.842	C ₁₇	3.537
H ₁₈	.979	N ₁₈	5.114	N ₁₈	3.891	O ₁₈	4.422	O ₁₈	6.438	O ₁₈	6.419
		C ₁₉	3.818	O ₁₉	6.574	C ₁₉	3.560	O ₁₉	6.416	C ₁₉	3.566
		C ₂₀	3.819	O ₂₀	6.577	H ₂₀	1.005	H ₂₀	3.568	O ₂₀	6.415
		H ₂₁	1.005	H ₂₁	1.002	H ₂₁	1.000	H ₂₁	1.007	C ₂₁	3.570
		H ₂₂	1.000	H ₂₂	.996	H ₂₂	1.014	H ₂₂	1.001	H ₂₂	1.006
		H ₂₃	1.014	H ₂₃	1.010	H ₂₃	1.005	H ₂₃	1.007	H ₂₃	1.000
		H ₂₄	1.006	H ₂₄	1.009	H ₂₄	.999	H ₂₄	1.016	H ₂₄	1.014

حرارة التكوين (ΔHf)

إن ملاحظة النتائج المستحصلة من الحساب (جدول 3) تشير إلى وجود اختلاف في قيم حرارة التكوين وحسب التسلسل التالي (II>III>I>IV>VI>V) وهذا يشير إلى ان الجزيئ(V) والمجموعة بمجموعة ميثوكسي في الموقع بارا ومجموعة هيدروكسي في الموقع اورثو هي الاكثر استقرارا حيث كلما كانت حرارة التكوين اقل كان المركب اكثر استقرارا⁽²³⁾ . وعلى ما يبدو إن هذا الاختلاف أعلاه يعود إلى ان المركب المعرض بمجاميع دافعة يكون اقل قيمة حرارة تكوين اي اكثر استقرارا من المركب الاساسي الغير معرض (I) وهذا بدوره اعلى استقرارا من المركب المعرض بمجاميع ساحبة ، وكذلك نلاحظ ان تأثير عامل الاعاقة الفراغية في المركب (II) جعله الاقل استقرارا واعلى بكثير من قيم حرارات التكوين لباقي المركبات المدروسة.

عزم ثانى القطب(μ)

تشير القيم المحسوبة (جدول 3) إلى التغير الملحوظ في قيم عزم ثانى القطب كما وتنظر في التدرج التالي : (I>III>II>V>IV>VI) يعود السبب في ذلك إلى تأثير نوع المعرض وموقعه الذي ينتج عنه حصول اختلاف في شحنات المركبات والشكل الفراغي لها وذلك على أساس إن عزم ثانى القطب يعتمد بصورة رئيسية على كل من الشحنات وبعد بين النرات⁽²⁴⁾ ، كما في المعادلة 1 :

$$\mu = q_i \times r_i \dots \dots \dots \dots \dots \dots [1]$$

حيث إن (q) : يمثل الشحنة بينما الرمز (r) يشير إلى المسافة بين الذرات .

Orbital energies الطاقات المدارية

إن ما يهمنا من الطاقات المدارية هو معرفة طاقة أعلى مدار جزيئي مشغول (HOMO) وطاقة اوسط مدار جزيئي غير مشغول ، (LUMO) فهي مهمة جدا. فمن طاقة (HOMO) يمكن معرفة قابلية الجزيئة على فقدان الالكترونات (عملية اكسدة) ، و طاقة (LUMO) تمكننا من معرفة قابلية الجزيئة على اكتسابها للألكترونيات (عملية اخترال)⁽²⁵⁾ ، والأهم من ذلك فإن فجوة الطاقة (Energy gap) والتي تمثل الفرق بين طاقتى أعلى مدار مشغول واوسط مدار غير مشغول تبين مدى الإستقرارية الكيميائية للجزيء^(27,26).

طاقة اعلى مدار جزيئي مشغول (HOMO) HOMO energies

أظهرت نتائج الحساب (الجدول 3) الترتيب التالي (I) > (II) > (III) > (IV) > (V) > (VI) ومنه نلاحظ ان الجزئية (II) لها اعلى قابلية لفقدان الالكترونات (عملية اكسدة) لكونه يمتلك اعلى قيمة لطاقة اعلى مدار جزيئي مشغول ويعود السبب في ذلك لتعويض مجموعة دافعة للألكترونات قوية عليه ، بينما المركب الاساسي الغير معرض اي حامض البنزوويك هيبرازيد هو الاقل قيمة (HOMO) وذلك يدل على ضعف ميله لفقدان الالكترونات وجاء بعده بالترتيب المركب (III) والذي يمتلك مجموعة معرضة ساحبة للألكترونات قوية ويأتي بالترتيب تباعا باقي المركبات و حسب قوة دفع كل منها⁽¹⁸⁾ .

LUMO energies طاقة أوطا مدار جزيئي فارغ (LUMO)

من ملاحظة (الجدول 3) يكون التدرج في قيم طاقات اوطاً مدار جزيئي غير مشغول للمركبات المدروسة كما يلي (III>IV>V>VI>II>I) ومن ملاحظة الترتيب اعلاه يتضح ان الجزيئة (III) لها اكبر قابلية لاكتساب الالكترونات (عملية اختزال) لأنها تمتلك اقل طاقة (LUMO) وقد يكون للمجموعة الساحبة للألكترونات الاثر في ذلك⁽¹⁸⁾. ثم تدرج باقي المركبات تبعاً بانخفاض قابليتها على اكتساب الالكترونات وصولاً لمركب (V).

فجوة الطاقة (Energy gap) ($E_{(HOMO-LUMO)}$)

هي أقل طاقة لازمة لأثارة الجزيئية و لجميع المركبات عندما يكون فرق الطاقة بين أعلى مدار جزيئي مشغول وأوّل مدار فارغ كبير يميل المركب للأستقرارية^(30,31) ونقل فعاليته وبالعكس تزداد فعالية المركب وتقل استقراريته بانخفاض الفرق الطيفي بين المدارين كما في المعادلة 2:

ومن ملاحظة (جدول 3) فإن المركبات تتدرج في مدى استقراريتها كما يلي: (II>III>IV>V>VI>I) ومن الجدول يتضح أن المركب (III) والمعوض بمجموعة نايترو هو أكتر فرق طاقتى (أكتر استقرار) من مركب (I) حامض البنزويك هيدرازيد نفسه الغير معوض بينما توالى المركبات المعوضة بمجموعة دافعة كل حسب قوة دفعها (ومن هذا يتضح ان الهيدرازونات المعوضة بمجاميع ساحبة تكون اكتر استقرارا من تلك المعوضة بمجاميع دافعة وتقل استقرارية الاخرية بزيادة قوة المجموعة لدفع الاكتئونات).

(جدول 3) قيم حارة التكوين وعزم ثانية القطب وطاقة المدارات HOMO-LUMO (جزئيات المدرسة)

Molecules	ΔH_f (kJ/mol)	(μ in Debye)	E_{HOMO} (ev)	E_{LUMO} (ev)	$E_{HOMO-LUMO}$ (ev)
C ₇ H ₈ N ₂ O (I)	-79.8445	4.3977	-9.4028	0.5776	8.8252
C ₁₆ H ₁₇ N ₃ O (II)	168.655	3.780	-7.5905	0.6316	6.9259
C ₁₄ H ₁₁ N ₃ O ₃ (III)	-15.1001	7.555	-8.9579	-0.0933	8.8646
C ₁₅ H ₁₄ N ₂ O ₂ (IV)	-122.888	3.263	-8.0452	0.5725	7.4727
C ₁₅ H ₁₄ N ₂ O ₃ (V)	-341.0663	3.766	-7.7413	0.6817	7.0596
C ₁₆ H ₁₆ N ₂ O ₃ (VI)	-329.2252	2.748	-7.6979	0.6464	7.0515

جهد التأين (IP) Ionization potential

ويمثل اقل مقدار من الطاقة التي يحتاجها النظام ليتأين بنزع الكترون منه^(27,21) فكلما كانت قيمته كبيرة كان تأين العنصر اصعب . وحسب نظرية كوبمان "Koopman's theory" وحسب المعادلة 3:

$$IP = - E_{(HOMO)} \dots \dots \dots [3]$$

فأنه يمكن اعتبار طاقة جهد التأين هي نفسها طاقة اعلى مدار جزيئي مشغول بالإلكترونات وبعكس الاشارة⁽³²⁾ . ومن ملاحظة (الجدول 4) تكون قابلية المركبات على التأين كما يلي: (I>II>V>VI>IV>III) ومن ترتيب الجزيئات في قابليتها على فقدان الإلكترونات نجد ان اصعب جزيئه في التأين(I) لأن لها اكبر جهد تأين وعلى العكس في الجزيئه (II) فهو الاسهل في فقدان لأن لها اقل قيمة لجهد التأين ، وقد يفسر ذلك امتلاك الاخيرة مجموعة دافعة للألكترونات قوية وكبيرة الحجم حيث تؤثر في زيادة الكثافة الالكترونية وعدم استقرار التركيب الفراغي من جانب اخر الناجم عن كبر حجم المجموعة المعرفة.

الإلفة الالكترونية (Ea) Electron affinity

هي كمية الطاقة المصاحبة لعملية اكتساب النظام لألكترون اضافي او اثغر لتكوين ايون سالب ، ولأي نظام بزيادة الإلفة الالكترونية تزداد قابليته لاكتساب الالكترونات وتزداد قيمة طاقة الإلفة الالكترونية له⁽³³⁾ وبحسب نظرية كوبمان "Koopman's theory" فإنه يمكن حساب الإلفة الالكترونية لنظام معين من معرفة قيمة طاقة اوطن مدار جزيئي فارغ (LUMO) بعكس الاشارة⁽³⁴⁾ وحسب المعادلة 4 :

$$Ea = - E_{(LUMO)} \dots \dots \dots [4]$$

ومن (الجدول 4) يتبيّن ان (V>I>II>VI>IV>III) تشير النتائج اعلاه الى ان المركبات المعرفة بمجاميع ساحبة للألكترونات تكون ذات اللفة الكترونية عالية اي لها القابلية على اكتساب الالكترونات وتحرير الطاقة ، وتقل الإلفة في حامض البنزويك هيدرازيد ، ثم تتحفظ قابليتها على اكتساب الالكترونات وبحسب قوة المجموعة الدافعة للألكترونات .

الكهروسلبية (χ) Electronegativity

وصفت الكهروسلبية^(35,28) عام (1932) من قبل العالم لينوس باولينك (Linus Pauling) على انها: (قابلية الذرة في الجزيئه على جذب الالكترونات نحوها)⁽³⁶⁾ وهناك الكثير من الطرق التجريبية لقياس الكهروسلبية بهذه الطريقة منها الكيمياء الحرارية . أما ما اعتمدناه في دراستنا النظرية للجزيئات هو ماجاء به العالم مولikan (Mullikan) عام (1934) وهو منصه ان الكهروسلبية هي (المتوسط العددي لجهد التأين والإلفة الالكترونية)⁽³⁷⁾ وكما في المعادلة التالية: $\chi = \frac{IP+Ea}{2}$ ومن ملاحظة (الجدول 4) تدرج الجزيئات في كهروسلبيتها كما يلي: (III>IV>V>VI>II>I) وقد يعود السبب في زيادة الكهروسلبية على المركب (III) لتعويضها بمجموعة ساحبة للألكترونات ويأتي بعده حامض البنزويك هيدرازيد في قيمة كهروسلبيته ثم تدرج المركبات المعرفة بمجاميع دافعة للألكترونات في كهروسلبية اقل .

الصلابة الكيميائية (η) Chemical hardness

هي احدى الصفات الفيزيائية المهمة لدراسة الجزيئه التي من خلالها يمكننا قياس المقاومة الميكانيكية للتشوه⁽³⁸⁾ والصلابة البنوية للجزيئه، اي انه نقيس مقاومة التغير في التوزيع الالكتروني في مجموعة من النوى والالكترونات⁽³⁹⁾ كما في المعادلة 5 :

$$\eta = \frac{(IP-Ea)}{2} \dots \dots \dots [5]$$

يمكننا ان نشير من خلال المعادلة الى انه للصلابة الكيميائية علاقة وثيقة⁽⁴⁰⁾ مع قيمة فجوة الطاقة(Gab) (Energy Gab) وبالنالي مع قيم الطاقات المدارية ، حيث بزيادة فجوة الطاقة تزداد الصلابة الكيميائية للجزيئه . مما يوحى الى التوصل الى اساليب جديدة في فهم وتقدير الحالة الصلبة⁽⁴¹⁾ ، ومن (الجدول 4) ترتبت الجزيئات في مدى صلابتها (I>II>VI>V>IV>III) وقد يعود السبب في ترتيب الجزيئات الى قوة الاواصر وتجاذبها والترتيب الفراغي الاكثر استقرارا للجزيئه .

الاكتروفيلية (GO) Electrophilicity

إن ماجاء به بار وجماعته⁽²⁸⁾ (Parr and co-workers) عام (1999) من تعريف رياضي لوصف الاكتروفيلية بحسب المعادلة 6 :

$$GO = \frac{(IP+Ea)^2}{4(IP-Ea)} \dots \dots \dots [6]$$

يدعم من اهمية معرفة الطاقات المدارية والتي توصلنا من خلالها الى هكذا كم من المعلومات لدراسة الجزيئه⁽⁴²⁾ ومن (الجدول 4) يتبيّن ان اكثـر الجـزيـئـات الـكتـروفـيلـية هـو الـهـيدـراـزوـنـ المـعـوـضـ بـمـجـمـوعـةـ النـايـتروـ السـاحـبـةـ لـلـأـلـكـتروـنـاتـ مـرـكـبـ

مجلة جامعة كربلاء العلمية – المجلد الحادى عشر- العدد الرابع / علمي / 2013

(III) وبأي بعده حامض البنزويك هيدرازيد ثم الهيدرازونات المعروضة بمجاميع دافعة تباعا حسب قوة الدفع وكما يلى :
 . (III>I>IV>V>VI>II)

(جدول4) قيم جهد التأين والالفة الالكترونية والكهروسلبية وصلادة الجزيئية للجزيئات

Molecules	IP (ev)	Ea (ev)	χ (ev)	η (ev)	G(ev)
C ₇ H ₈ N ₂ O (I)	9.4028	-0.5776	4.4126	4.9902	1.9509
C ₁₆ H ₁₇ N ₃ O (II)	7.5905	-0.6316	3.4794	4.1111	1.4724
C ₁₄ H ₁₁ N ₃ O ₃ (III)	8.9579	0.0933	4.5256	4.4323	2.3104
C ₁₅ H ₁₄ N ₂ O ₂ (IV)	8.0452	-0.5725	3.7364	4.3089	1.6199
C ₁₅ H ₁₄ N ₂ O ₃ (V)	7.7413	-0.6817	3.5475	4.2115	1.4941
C ₁₆ H ₁₆ N ₂ O ₃ (VI)	7.6979	-0.6464	3.5258	4.1722	1.4898

الدواال الديناميكية الحرارية القياسية Standard Thermodynamic Functions

باعتبار النظام معزول وتحت ظروف قياسية وبالاستعانة بقوانين الدوال الديناميكية الحرارية الاحصائية⁽¹⁹⁾ ، وبحسب نتائج الحساب لطريقة المندو-3 فورسيز تبين ان :

دالة الطاقة الداخلية القياسية (U⁰)Standard Internal energy function

بعد الاطلاع على(الجدول5) لوحظ ان ترتيب المركبات بالنسبة لطاقتها الداخلية(I>VI>II>V>IV>III>).

دالة الانثالبي القياسية (H⁰Standard Enthalpy function)

أظهرت نتائج الحساب في(الجدول5) بأن ترتيب المركبات جاء كما في الطاقة الداخلية (VI>II>V>IV>III>I) .

دالة الانتروبي القياسية (S⁰) Standard Entropy function

من الحسابات في (الجدول5) عشوائية المركبات متقدمة مع طاقتها الداخلية وطاقة الانثالبي لها بالترتيب(VI>II>V>IV>III>I) .

دالة طاقة كبس القياسية (G⁰)Standard Gibbs energy function

من الاطلاع على (الجدول5) يلاحظ اختلاف بسيط في تدرج المركبات في قيم طاقة كبس القياسية عن الدوال المذكورة اعلاه وبإهمال الاشارة السالبة التي تدل على سير التفاعل تلقائيا بثبوت الضغط اي ان المركبات رتبت حسب رقم مجرد من الاشارة (VI>V>II>IV>III>I)

دالة طاقة هيلمھولتز القياسية (A⁰)

من (الجدول5) فإن طاقة هيلمھولتز تتفق في تدرج المركبات مع طاقة كبس وأيضا ذات قيم بالسالب والتي تدل على زيادة القوة الدافعة لسير التفاعل تلقائيا ولكن بثبوت الحجم(I>VI>V>II>IV>III) .

نستنتج : ان جميع دوال الديناميك الحراري القياسية تكون ذات قيم اكبر في حالة الهيدرازونات المعروضة بمجاميع دافعة للألكترونات من نظيراتها المعروضة بمجاميع ساحبة للألكترونات. أما بالنسبة لحامض البنزويك هيدرازيد امثال دوال ديناميك حراري قياسية اقل من الهيدرازونات المشقة منه.

(جدول5) قيم دوال الديناميك الحراري القياسية للجزيئات والمحسوبة بأسلوب (MINDO/3-FORCES)

The molecules	U ⁰ (kJ/mol)	H ⁰ (kJ/mol)	S ⁰ (kJ mol ⁻¹ deg ⁻¹)	G ⁰ (kJ/mol)	A ⁰ (kJ/mol)
C ₇ H ₈ N ₂ O (I)	25.1871	27.6658	1.1827	-324.9506	-327.4294
C ₁₆ H ₁₇ N ₃ O (II)	52.6432	55.1220	1.3990	-361.9938	-364.4726
C ₁₄ H ₁₁ N ₃ O ₃ (III)	47.6454	50.1242	1.3534	-353.4053	-355.8841
C ₁₅ H ₁₄ N ₂ O ₂ (IV)	48.9034	51.3822	1.3760	-358.8617	-361.3405
C ₁₅ H ₁₄ N ₂ O ₃ (V)	52.4242	54.9030	1.3989	-362.1676	-364.6464
C ₁₆ H ₁₆ N ₂ O ₃ (VI)	56.9242	59.4030	1.4226	-364.7533	-367.2321

IR absorption intensities

ترددات الأهتزاز وشدة الامتصاص في منطقة الأشعة تحت الحمراء Vibrational frequencies and

أجري التخليص الطيفي الحسابي المتكامل لترددات الاهتزاز ($3N-6$) ولجميع المركبات المدروسة باستخدام الحسابات الشبه تجريبية بطريقة (MINDO/3-FORCES) وبالإضافة لقيم الترددات ومدى شدتها التي تم استحصلالها من نتائج الحساب فقد تم الاستعانة بجداول المشاركة الجزيئية لكل ذرة من الجزيئه في التردد الاهتزازي و مطابقتها مع الاشكال التي تم رسمها باستخدام برنامج (DRAW MOL) والمماثل بـ (الشكل 2) وبما ان الجزيئات لا تسلك سلوكا توافقيا في اهتزازاتها اي تعمل كمهتز لاتفاقي (anharmonic oscillator) لذا تم اجراء تصحيح لهذه الترددات من خلال معالجتها بعوامل تقبيس (43) محددة لكل صنف وحسب نوع النمط الاهتزازي . وقد أظهرت دراسة طيف الأشعة تحت الحمراء لهذه الجزيئات علاقات تربط بين ترددات الاهتزاز ونوع النمط الاهتزازي ، وذلك من ملاحظة النتائج المحسوبة (جدول 6) مع التركيز على الترددات ذات الشدة العالية حيث نتج ما يلي : مقارنة حزم الامتصاص التي ظهرت في معظم مركبات الهيدرازون و حامض البنزويك هيدرازيد حيث لوحظ بعض الاختلاف في قيم ترددات الاهتزاز وشدة الامتصاص بين المركبات ، على الرغم من انها اتفقت في نوع النمط الاهتزازي ، وقد يعود السبب الى طبيعة المجموعة المعرفة على حلقة البنزين المعرفة وتأثير ذلك على الشكل الفراغي للجزيء في الحالة المستقرة .

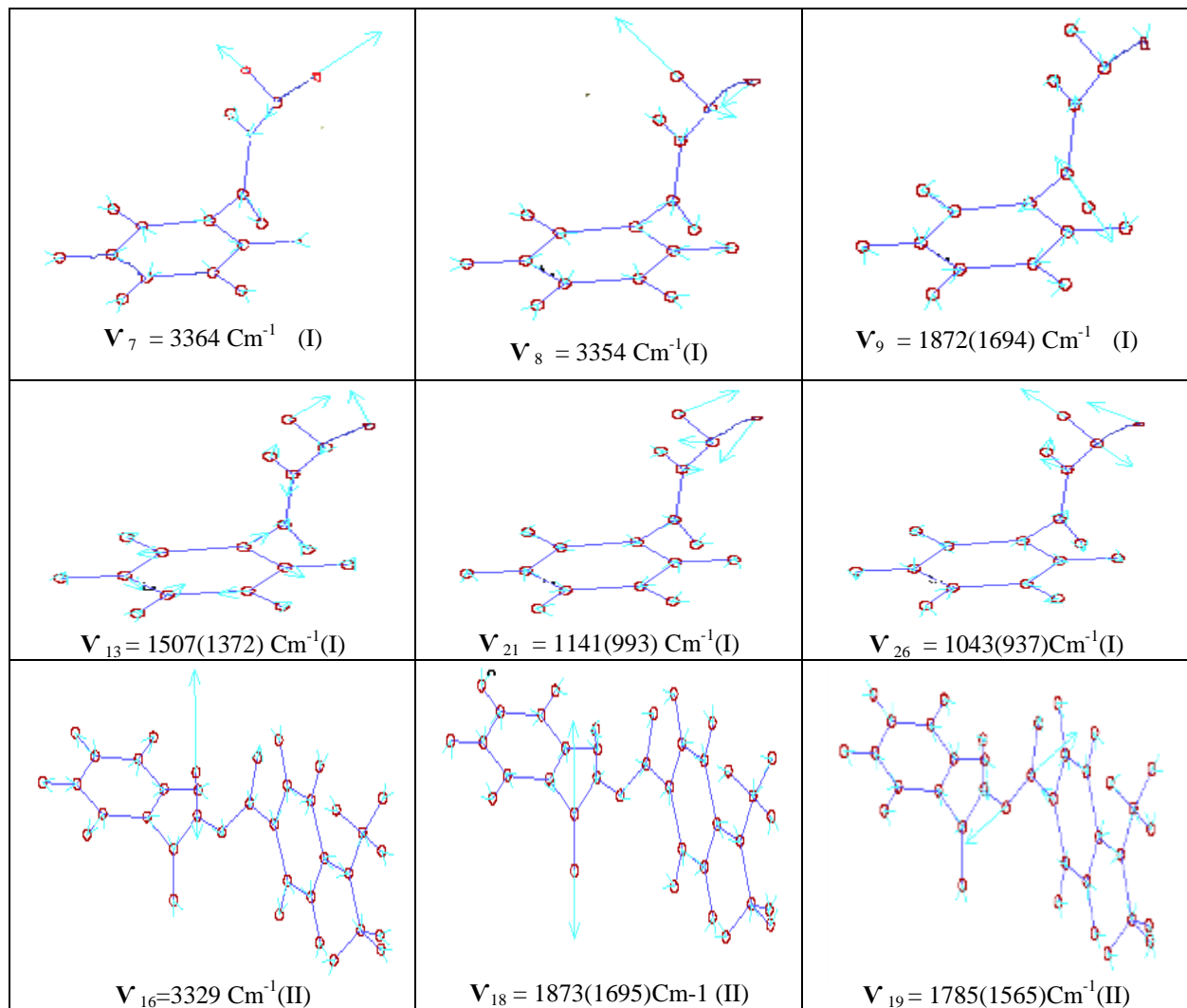
ان ترددات المط الاهتزازي للأصرة (N-H St.) ظهرت بحدود (3325-3470) سم⁻¹ وتدرجت تردداتها كالتالي : (VI>IV>II>III>I>V) بينما شدد الامتصاص ظهرت حسب التسلسل التالي : (VI>IV>II>III>I>V). ترددات المط الاهتزازي لمجموعة الكاربونييل (C=O St.) شخصت بحدود (1681-1701) سم⁻¹ وجاء ترتيبها كما يلي : (V>IV>II>I>VI>III) وشدد الامتصاص لترددات مط نفس الأصرة تبيينت (V>IV>I>III>II>VI). ان جميع مركبات الهيدرازون تشتراك بظهور حزمة امتصاص بحدود (1778-1802) سم⁻¹ والتي تدل على تردد اهتزاز مط الأصرة (C=NSt.) والتي تميز هذه المركبات وتدرجت تردداتها (III>IV>II>VI>V) وترتبت شدد الامتصاصات كما يلي (III>IV>II>V>VI).

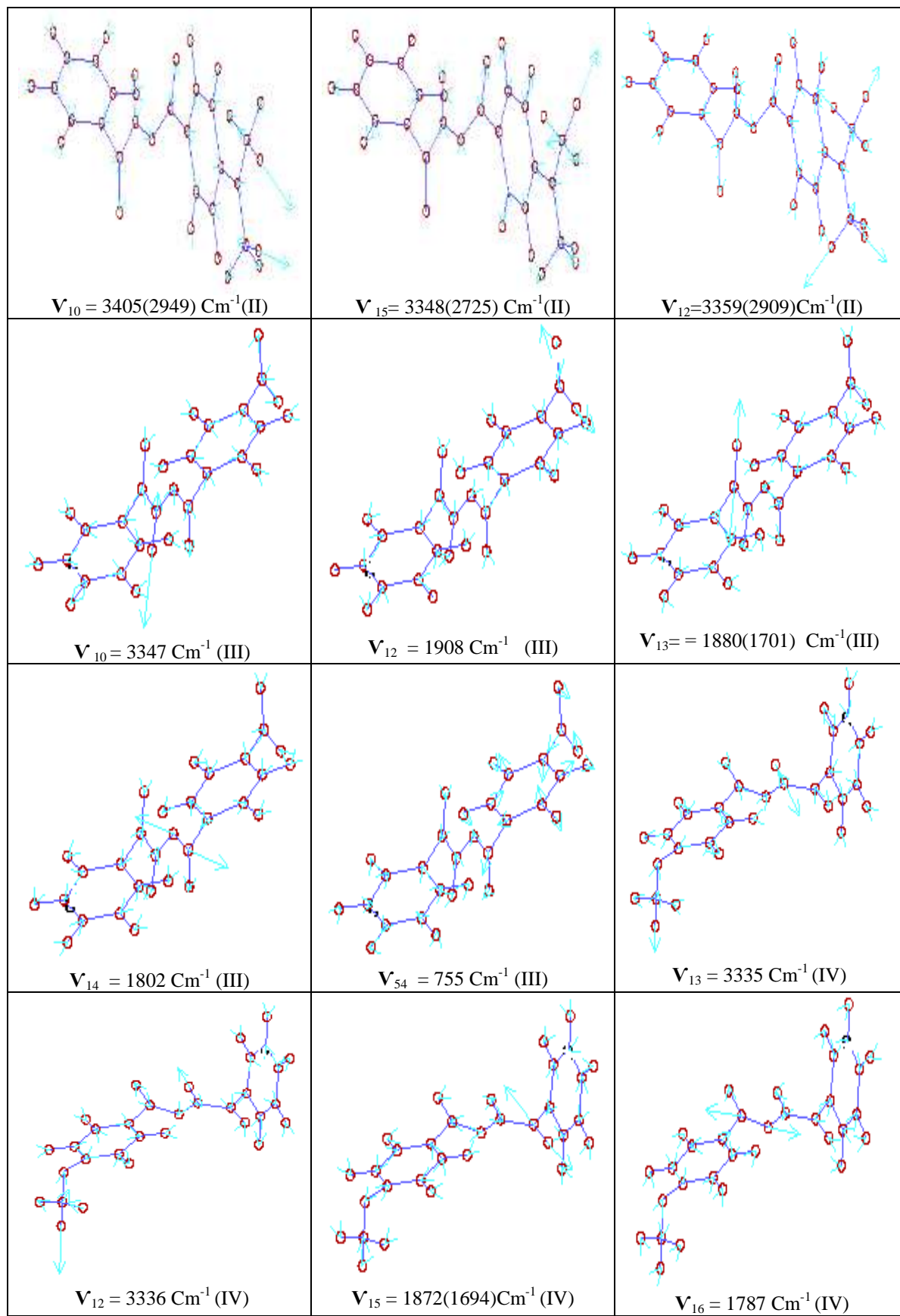
اما ما يميز المركبات المدروسة كل على حدة وتشخيصها يمكن تلخيصه كما يلي: بالنسبة لجزيء حامض البنزويك هيدرازيد اتصف بتترددات اهتزاز مط متماثل وغير متماثل لمجموعة (NH₂) بحدود (3354-3364) سم⁻¹ على التوالى > St. NH₂ s. as. St. . { NH₂ وذلك جاء متفقا مع قيم شدد الامتصاص حيث ان شدة امتصاص تردد اهتزاز المط المتماثل اعلى من غير المتماثل . كما لوحظ ان التردد الانحنائي المقصري (Scissoring) اكبر من التردد الانحنائي التدحرجي (Rocking) وان الاخير اكبر من التردد الانحنائي التأرجحي (Wagging) : .

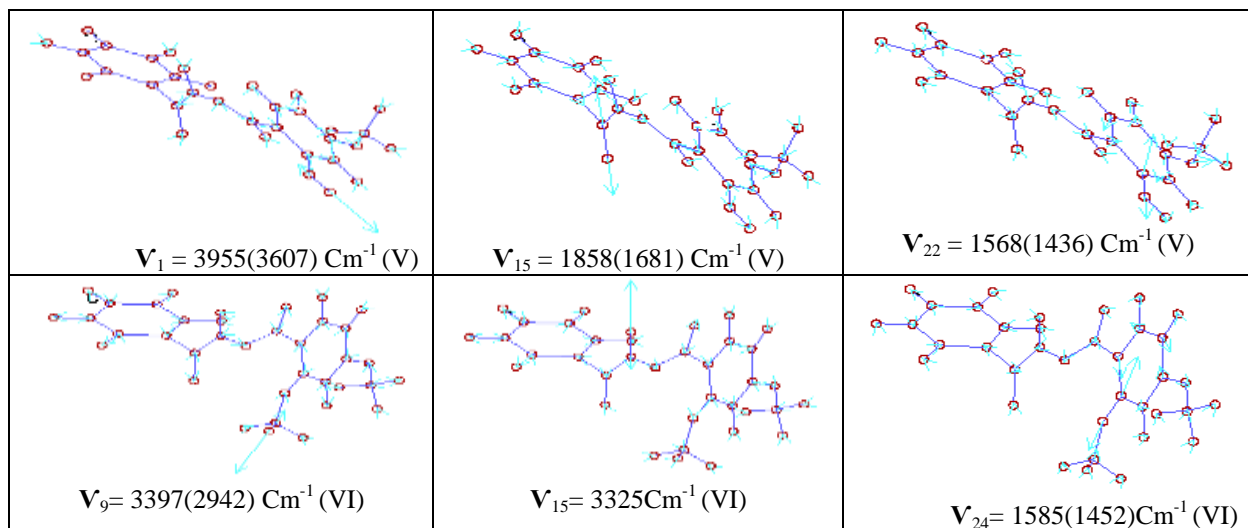
جزيءة (III) ظهر فيها حزمة امتصاص ذات شدة عالية بحدود (1908) سم⁻¹ وهي ما تميز تردد اهتزاز مط اصارة (NO₂) كما لوحظ ان التردد الانحنائي المقصري (Scissoring) ولنفس مجموعة النايترو يكون اكبر من بقية انواع ترددات الانحناء ومن ثم يعقبه التردد الانحنائي التأرجحي (Wagging) ومن ثم التدحرجي (Rocking) وأخيراً الالتوائي (Twisting) أي ان NO₂ sciss. > ω NO₂ > ρ NO₂ > NO₂ sciss. .

جزيءة (V) لوحظ ظهور حزمة تردد اهتزاز مط اصارة (O-H) في حدود (3607) سم⁻¹ ، وتردد اهتزاز مط اصارة (C-O) لمجموعة الميثوكسي بحدود (1436) سم⁻¹. على وفق النتائج الملاحظة للجزيء (II) فقد ظهرت حزم امتصاص بحدود (2725-2949) سم⁻¹ وهي تعود لترددات اهتزاز مط اصارة (C-H) لمجموعة الميثيل.

بالنسبة للجزيئتين (IV,VI) فقد ميزهما حزمتي امتصاص احدهما لتردد اهتزاز مط اصارة (C-H) لمجموعة الميثيل في حدود (2889-2942) سم⁻¹ والآخر لتردد اهتزاز مط اصارة (C-O) بحدود (1464) سم⁻¹ تميز مجموعة الميثوكسي .







شكل (2) بعض الاشكال الواصفة للأتماط الاهتزازية للجزئيات المدروسة.

(جدول 6) تشخيص بعض ترددات الاهتزاز (المقيمة) وشدد الامتصاص للجزئيات

C ₇ H ₈ N ₂ O (I)			C ₁₆ H ₁₇ N ₃ O (II)				
No. of freq	Mindo/3-Forces		Assignments	No. of freq	Mindo/3-Forces		Assignments
	Freq. 1/cm	Intensity km/mole			Freq. 1/cm	Intensity km/mole	
v ₁	3050	46.50	R. (C ₁ ,C ₂ ,C ₆)Hst.	v ₁	3035	65.36	R(C ₁ ,C ₂ ,C ₃ ,C ₅ ,C ₆)Ha,st
v ₂	3027	80.75	R. (C ₂ ,C ₆)H st.	v ₂	3026	82.73	R(C ₁ ,C ₂ ,C ₃ ,C ₅ ,C ₆)Ha,st
v ₃	3018	14.80	R.(C ₁ ,C ₂ ,C ₃ ,C ₅ ,C ₆)Hst	v ₅	3013	83.39	R(C ₁₃ ,C ₁₄ ,C ₁₆ ,C ₁₇)Ha,st
v ₄	3006	29.95	R. (C ₃)H St.	v ₆	3008	22.34	R.(C ₁ ,C ₂ ,C ₅ ,C ₆)H s. st.
v ₅	3005	23.80	R. (C ₅ ,C ₆)H st.	v ₇	3002	21.19	R.(C ₁₆ ,C ₁₇)H a. st.
v ₆	3400	108.4	(N8)H st.	v ₈	3002	31.04	R.(C ₁ ,C ₂ ,C ₃)H a. st.
v ₇	3364	115.8	(N10)H ₂ s. st.	v ₉	2994	35.71	R.(C ₁₄ ,C ₁₃)H a. st.
v ₈	3354	93.46	(N10)H ₂ as. st.	v ₁₀	2949	155.5	(C ₁₉ ,C ₂₀)H st.
v ₉	1694	272.1	C=O st.	v ₁₂	2909	20.49	(C ₂₀)H ₂ as. st.
v ₁₀	1491	10.32	R. (C-C) st.	v ₁₃	2904	127.5	(C ₁₉)H ₂ as. st.
v ₁₂	1412	48.59	δ R.	v ₁₄	2756	117.8	(C ₁₉ ,C ₂₀)H ₂ s. st.
v ₁₃	1372	14.83	NH ₂ sciss.	v ₁₅	2725	55.07	(C ₂₀ ,C ₁₉)H ₂ s. st.
v ₁₄	1300	113.5	C-N st.	v ₁₆	3329	176.7	N-H st.
v ₁₆	1196	13.84	R. (δCH)	v ₁₇	2791	90.20	(C ₁₁)Hst.
v ₁₇	1201	15.02	δ N-H	v ₁₈	1695	334.0	C=O st.
v ₁₉	1004	28.07	R. (δCH)	v ₁₉	1785	10.16	C=N st.
v ₂₄	994	7.92	δ R.	v ₂₁	1491	154.5	R.(C ₁₃ -C ₁₄ ,C ₁₆ -C ₁₇) st.
v ₂₆	937	12.51	ω NH ₂	v ₂₆	1304	474.8	C-N st.
v ₃₇	546	9.98	R. (δCCC)	v ₃₀	1549	178.1	(C ₁₉ ,C ₂₀)H ₃ d. deform
v ₄₁	371	1.69	R. (CCC deform)	v ₅₅	1060	21.16	(C ₁₉ ,C ₂₀)H ₃ s.deform
v ₄₂	364	4.20	γ R.	v ₆₅	894	4.18	δ (C ₁₁)H
v ₄₄	288	1.18	δ R.	v ₈₈	419	5.61	γ C-O torsion
v ₄₇	105	1.24	R. (γCH)	v ₉₃	219	1.36	γR.(C ₁ ,C ₂ ,C ₃ ,C ₄ ,C ₅ ,C ₆)
v ₄₈	50	2.01	γ R.	v ₁₀₅	9	0.01	Deformations

C ₁₄ H ₁₁ N ₃ O ₃ (III)				C ₁₅ H ₁₄ N ₂ O ₂ (IV)			
No. of freq	Mindö/3-Forces		Assignments	No. of freq	Mindö/3-Forces		Assignments
	Freq. 1/cm	Intensity km/mole			Freq. 1/cm	Intensity km/mole	
v ₁	3037	58.98	R.(C ₁ ,C ₂ ,C ₃ ,C ₅ ,C ₆)H st.	v ₁	3035	60.76	R. (C ₁ ,C ₂ ,C ₆)H st.
v ₂	3029	76.95	R.(C ₁ ,C ₂ ,C ₅ ,C ₆)H st.	v ₃	3030	46.77	R. (C ₁₄ ,C ₁₆)H st.
v ₄	3058	81.04	R. (C ₁₄ ,C ₁₆)H st.	v ₄	3028	81.31	R. (C ₂ ,C ₆)H st.
v ₅	3019	11.88	R.(C ₁ ,C ₂ ,C ₃ ,C ₅ ,C ₆)H st.	v ₆	3008	21.61	C ₅ -H st.
v ₇	3011	26.55	R.(C ₁₃ ,C ₁₄ ,C ₁₆ ,C ₁₇)H st	v ₇	3005	27.73	C ₁₇ -H st.
v ₈	3008	34.37	R(C ₁ ,C ₂ ,C ₃ ,C ₅ ,C ₆)H st.	v ₈	3002	29.09	C ₃ -H st.
v ₉	3007	16.51	R(C ₁ ,C ₂ ,C ₃ ,C ₅ ,C ₆)H st.	v ₉	2996	40.54	C ₁₃ -H st.
v ₁₀	3347	168.4	N-H st.	v ₁₀	2928	97.63	C ₁₉ -H ₃₁ st.
v ₁₁	2815	96.94	(C ₁₁)-H st.	v ₁₁	2897	99.99	C ₁₉ -H ₃₂ st.
v ₁₂	1908	384.2	N-Ost.	v ₁₂	2889	121.2	C ₁₉ -H ₃₃ st.
v ₁₃	1701	264.8	C=O st.	v ₁₃	3335	177.3	N ₈ -H st.
v ₁₄	1802	42.68	(C ₁₁)=(N ₁₀)	v ₁₄	2797	95.97	C ₁₁ -H st.
v ₁₅	1495	12.07	R.(C ₁₂ ,C ₁₃ ,C ₁₄ ,C ₁₅ ,C ₁₆ ,C ₁₇)st	v ₁₅	1694	307.6	C=O st.
v ₁₆	1491	19.42	R.(C ₁ ,C ₂ ,C ₃ ,C ₄ ,C ₅ ,C ₆) st.	v ₁₆	1787	13.62	C=N st.
v ₁₉	1431	141.4	R.(C ₁₂ ,C ₁₃ ,C ₁₄ ,C ₁₆) st.	v ₁₈	1491	147.9	R. (C ₁₃ -C ₁₄ ,C ₁₆ -C ₁₇) st.
v ₂₀	1397	107.2	R.(C ₁ ,C ₂ ,C ₃ ,C ₅ ,C ₆) st.	v ₂₁	1464	106.6	C ₁₅ -O st.
v ₂₁	1353	98.33	(C ₁₅)-N st.	v ₂₂	1346	170.2	R. δ (C ₁ ,C ₂ ,C ₃ ,C ₅ ,C ₆)H
v ₂₃	1291	305.5	(C ₇)-N st.	v ₂₃	1287	222.8	C ₁₁ -C ₁₂ st.
v ₂₅	1266	21.01	R.δ (C ₁₃ ,C ₁₄ ,C ₁₆ ,C ₁₇)H	v ₂₄	1297	157.6	C ₇ -N ₈ st.
v ₂₇	1208	109.3	δ N-H	v ₂₆	1264	23.95	R. (C ₁₃ -C ₁₄ ,C ₁₆ -C ₁₇) st.
v ₃₁	1070	22.05	R.δ(C ₁₃ ,C ₁₆)H+δ(C ₁₁)-H	v ₂₇	1345	218.1	CH ₃ s. deform
v ₃₅	1046	18.46	δ (C ₁₁)-H	v ₂₉	1224	70.85	δ (N ₈ -H)
v ₃₈	994	10.75	R. δ (C ₁ ,C ₂ ,C ₆)H	v ₃₀	1436	41.74	CH ₃ d. deform
v ₄₁	1120	5.81	(C ₁₅)-N st.	v ₃₄	1094	41.13	R. δ (C ₁₆ ,C ₁₇)H
v ₄₂	868	14.50	R.γ (C ₁ ,C ₃ ,C ₅)breath	v ₃₆	1075	31.62	R. δ (C ₁₃ ,C ₁₄)H
v ₅₁	872	1.85	γ (C ₁₁)-H	v ₃₈	1060	21.75	δR.(C ₁₂ ,C ₁₃ ,C ₁₄ ,C ₁₅ ,C ₁₆ ,C ₁₇)
v ₅₂	869	5.82	R. δ (C ₁ ,C ₂ ,C ₃ ,C ₅ ,C ₆)H	v ₃₉	1028	5.30	C ₇ -N ₈ st.
v ₅₃	856	12.3	R.γ (C ₁₃ ,C ₁₄ ,C ₁₆ ,C ₁₇)H	v ₄₂	996	3.26	CH ₃ ddeform+Rγ(C ₁₃ ,C ₁₄ ,C ₁₆)
v ₅₄	755	37.5	NO ₂ sciss.	v ₄₃	995	1.06	R. δ (C ₁ ,C ₆)H
v ₅₅	739	22.8	ω NO ₂	v ₄₄	994	7.88	R. δ (C ₁ ,C ₂ ,C ₆)H
v ₅₇	731	4.81	γR.(C ₁₂ ,C ₁₃ ,C ₁₄ ,C ₁₅ ,C ₁₆ ,C ₁₇)	v ₄₅	946	7.06	CH ₃ ddeform+Rδ(C ₁₃ ,C ₁₄ ,C ₁₆) H
v ₆₇	438	0.65	ρNO ₂	v ₄₇	1171	14.71	CH ₃ d. deform
v ₆₈	428	0.60	τ NO ₂ +δ (C ₁₁)-H	v ₄₉	866	6.33	R.(C ₁ ,C ₃ ,C ₅) breath
v ₆₉	409	1.71	ρNO ₂ +δ N-H	v ₅₀	1014	1.77	R. δ (C ₁₃ ,C ₁₄ ,C ₁₆ ,C ₁₇)H
v ₇₃	449	9.75	γ N-H	v ₅₉	858	20.69	R.(C ₁ ,C ₂ ,C ₃ ,C ₄ ,C ₅ ,C ₆)
v ₇₇	199	5.60	γ N-H + ω NO ₂	v ₆₄	690	25.71	γ (N ₈ -H,C ₇ -N ₈)
v ₈₀	121	1.07	γ (C ₇)-O + τ NO ₂	v ₆₇	654	13.55	R. γ (C ₁ ,C ₂ ,C ₅ ,C ₆)H
v ₈₃	47	0.03	Rγ(C ₁₃ ,C ₁₄ ,C ₁₆ ,C ₁₇)H+NO ₂	v ₇₉	403	0.75	C-O torsion
v ₈₄	41	0.90	γ R.(C ₁ ,C ₂ ,C ₃ ,C ₄ ,C ₅ ,C ₆)	v ₈₃	207	0.18	CH ₃ d.deform+γ(N ₈ -H,C ₁₁ =N)
v ₈₅	29	0.20	Deformations	v ₈₄	181	1.46	CH ₃ d.deform+γ (C ₁₁ -H)
v ₈₇	12	0.81	Deformations	v ₉₃	9	0.00	Deformations

C ₁₅ H ₁₄ N ₂ O ₃ (V)				C ₁₆ H ₁₆ N ₂ O ₃ (VI)			
No. of freq	Mindo/3-Forces		Assignments	No. of freq	Mindo/3-Forces		Assignments
	Freq. 1/cm	Intensity km/mole			Freq. 1/cm	Intensity km/mole	
v ₁	3607	3.28	O ₁₈ -H st.	v ₁	3044	20.06	C ₁₄ -H st.
v ₂	3040	22.20	C ₁₁ -H st.	v ₂	3034	58.17	R. (C ₁ ,C ₂ ,C ₆)H st.
v ₃	3034	71.72	R. (C ₁ ,C ₂ ,C ₆)H st.	v ₄	3026	83.91	R. (C ₂ ,C ₆)H st.
v ₄	3028	18.31	C ₁₃ -H st.	v ₈	2990	42.12	C ₁₃ -H st.
v ₅	3025	86.11	R.(C ₂ ,C ₆)H st.	v ₉	2942	48.37	C ₂₁ -H ₃₅ st.
v ₇	3006	28.20	C ₅ -H st.	v ₁₀	2928	92.25	C ₁₉ -H ₃₂ st.
v ₈	3470	35.99	N ₈ -H st.	v ₁₁	2903	143.2	C ₁₉ -H ₃₃ st.
v ₉	3001	32.99	C ₃ -H st.	v ₁₂	2901	87.62	C ₂₁ -H ₃₆ st.
v ₁₀	2993	31.60	C ₁₆ -H st.	v ₁₃	2897	132.8	(C ₂₁ -H ₃₇ +C ₁₉ -H ₃₄) st.
v ₁₁	2931	86.52	C ₂₀ -H ₃₂ st.	v ₁₅	3325	202.1	N-H st.
v ₁₂	2901	113.9	C ₂₀ -H ₃₃ st.	v ₁₇	1689	314.0	C ₇ =O ₉ st.
v ₁₃	2899	117.3	C ₂₀ -H ₃₄ st.	v ₁₈	1784	2.75	C ₁₁ =N ₁₀ st.
v ₁₄	2853	71.83	C ₁₇ -H ₃₀ st.	v ₂₀	1487	443.9	R(C ₁₂ ,C ₁₃ ,C ₁₄ ,C ₁₅ ,C ₁₆ ,C ₁₇)st
v ₁₅	1681	234.8	C ₇ -Ost.	v ₂₃	1396	93.85	R(C ₁₂ ,C ₁₃ ,C ₁₄ ,C ₁₅ ,C ₁₆ ,C ₁₇) st
v ₁₆	1778	4.44	C ₁₇ =N ₁₀ st.	v ₂₄	1452	218.9	C ₁₇ -O st.
v ₁₇	1493	4.37	R. (C ₂ ,C ₃ ,C ₅ ,C ₆) st.	v ₂₅	1347	182.3	R(C ₁ ,C ₂ ,C ₃ ,C ₄ ,C ₅ ,C ₆) st
v ₁₈	1487	333.9	R. (C ₁₃ -C ₁₄ ,C ₁₁ -C ₁₆) st.	v ₂₇	1296	56.43	C ₇ -N ₈ st.
v ₂₀	1448	239.5	R. (C ₁₁ -C ₁₂ ,C ₁₄ -C ₁₅) st.	v ₂₉	1356	173.3	(C ₂₁)H ₃ s. deform
v ₂₂	1436	76.00	(C ₁₂ -O ₁₉ ,C ₁₄ -O ₁₈) st.	v ₃₃	1226	77.29	δ N ₈ -H
v ₂₃	1407	142.2	R. (C ₁ ,C ₂ ,C ₆) st.	v ₃₅	1434	35.21	(C ₁₉ ,C ₂₁)H ₃ d. deform.
v ₂₄	1274	207.1	C ₁₅ -C ₁₇ st.	v ₃₆	1203	19.32	δ N ₈ -H
v ₂₅	1292	41.61	C ₇ - N ₈ st+R.(C ₂ ,C ₄ ,C ₆)st.	v ₃₇	1411	22.18	(C ₁₉)H ₃ d. deform
v ₂₆	1269	41.64	R(C ₁ ,C ₂ ,C ₃ ,C ₄ ,C ₅ ,C ₆) st	v ₄₂	1081	22.83	Rδ(C ₁ ,C ₂ ,C ₃ ,C ₄ ,C ₅ ,C ₆ H
v ₂₇	1565	264.8	CH ₃ d. deform	v ₄₅	1099	10.65	δ C ₁₆ -H+δ C ₁₃ -H
v ₃₀	1223	25.10	δ (N ₈ -H)	v ₅₁	995	11.28	R. δ (C ₁ ,C ₃ ,C ₅ ,C ₆)H
v ₃₁	1435	25.67	CH ₃ d. deform	v ₅₂	1194	2.45	(C ₂₁)H ₃ d. deform
v ₃₂	1272	20.46	CH ₃ s. deform	v ₅₄	1174	30.98	(C ₁₉ ,C ₂₁)H ₃ d. deform
v ₃₆	1091	56.79	δ (C ₁₃ -H)	v ₅₇	1037	6.96	R. δ (C ₃ ,C ₄ ,C ₅ ,C ₆)H
v ₃₈	1067	56.23	R. δ (C ₁₁ ,C ₁₃ ,C ₁₆)H	v ₆₁	935	2.90	γ(C ₁₁)- H+Rγ(C ₁₃ ,C ₁₄ ,C ₁₆)H
v ₄₄	1200	10.40	CH ₃ d. deform	v ₆₅	861	23.01	γ R. (C ₁ ,C ₂ ,C ₃ ,C ₄ ,C ₅ ,C ₆)
v ₄₆	983	4.46	R. δ (C ₃ ,C ₆)H	v ₆₇	800	29.40	R.γ(C ₁₃ ,C ₁₄ ,C ₁₆)H
v ₄₇	1118	27.20	δ O ₁₈ -H	v ₇₁	691	9.32	γ (N ₈)-H+ γ (C ₇)-N
v ₅₈	859	12.43	R. γ (C ₁ ,C ₂ ,C ₆)H	v ₇₂	723	33.18	γ(N ₈)-H+(C ₁₂ -C ₁₇)torsion
v ₅₉	827	9.51	γ (C ₁₃ -H)	v ₇₃	679	8.20	Rγ(C ₁ ,C ₃ ,C ₅)H+γ(N ₈)-H
v ₆₀	797	21.15	R. γ (C ₁₁ ,C ₁₃ ,C ₁₆)H	v ₈₂	308	1.07	γ (C ₁₅ -O)+ γ (C ₁₇ -O)
v ₆₃	500	3.53	γ C ₇ -O	v ₈₆	420	7.95	γ(C ₇ =O)+γR(C ₁ ,C ₂ ,C ₃ ,C ₄ ,C ₅ ,C ₆)
v ₆₄	703	25.34	γ R. (C ₁₄ ,C ₁₅ ,C ₁₆)	v ₈₉	288	2.21	γ (C ₁₉ -O)+ γ (C ₂₁ -O)
v ₇₁	540	13.90	γ (N ₈ -H)	v ₉₆	107	1.58	(C ₂₁)H ₃ d.deform +γ(C ₁₇ -O)
v ₇₇	369	34.65	γ O ₁₈ -H	v ₉₉	78	0.55	(C ₁₉)H ₃ d.deform +γ(C ₇ =O)
v ₈₅	206	4.28	CH ₃ d.deform+γO ₁₈ - H+γC ₁₃ -H	v ₁₀₁	47	0.68	Deformations
v ₉₆	7	0.05	Deformations	v ₁₀₅	10	0.00	Deformations

References

1. B. R. Thorat, P. Kamat, D. Khandekar, S. Lele, M. Mustapha, S. Sawant, R. Jadhav, S. Kolekar R. Yamgar and R. G. Atram, *J. Chem. Pharm. Res.*, Vol. 3(6), pp. 1109-1117, 2011 .
2. B. R. Thorat, S. A. Shaikh, R. G. Atram and R. S. Yamgar, *J. Chem. Bio. Phy. Sci. Sec. B*, Vol. 3, pp. 80-90, 2013 .
3. T. A. Saleh,Synthesis of some new Schiff bases compounds derived from amino drugs and evaluation of their biological activity, *M.Sc.Thesis*, College of Science, Tikrit University, 2011 .
4. P.A. Vigato and S. Tamburini,*Coordination Chemistry Reviews*,Vol.252,pp.1871–1995, 2008.
5. I. A. Torje, A. Valean and C. Cristea, *Rev. Roum. Chim.*, Vol. 57, pp.337-344, 2012 .
6. B. R. Thorat, P. Patel, R. S. Yamgar and R. G Atram, *J. Chem. Bio. Phy. Sci. Sec. C*, Vol.3, pp. 479-489, 2013 .
7. A. M. Daher,*TikritJournalofPureSciences*,Vol.17, pp.1662, 2012 .
8. A. M. Noori, Synthesis and Characterization of New Shiff Bases and Amides Derived from N(1) Substituted Isatin with 2-Aminobenzothiazole,2-Aminopyrimidine and Dithiooamide and Some of Their Metal Complexes,*Ph.D.thesis*, College of Science, Baghdad University, 2008 .
9. A. Iqbal, H. L. Siddiqui, C. M. Ashraf, M. Ahmad and G. W. Weaver, *Molecules*, Vol.12, pp. 245-254, 2007 .
10. Y. Vaghasiya, R. Nair, M. Soni, S. Baluja and S. Chanda, *J. Serb. Chem. Soc.*, Vol.69, pp. 991-998, 2004.
11. H. Naeimi and M. Moradian,*Journal of Chemistry*, Vol.2013, pp. 8, 2012.
12. J. H. Ali and M. Shanshal, *Z. Naturforsch.*, Vol.58a, pp.162–166, 2003.
13. S. M. Khalil and M. Shanshal ,*Theoret.Chem.Acta.* ,Vol. 46, pp. 23-37, 1977 .
14. R. C. Bingham, M. J. S. Dewar and D. H. Lo, *J. Amer. Chem. Soc.*, Vol.97, pp.1285, 1975.
15. P. Pulay, *Molec. Phys.*, Vol.17, pp.197, 1969 .
16. A. Murtagh and R.W. H. Sargent, *Comput. J.*, Vol.13, pp.185, 1970.
17. F. Jensen," Introduction to Computational Chemistry",2nd ed., John Wiley and Sons Ltd, 2007.
18. C. E. Housecroft and A. G. Sharpe, "Inorganic Chemistry", 2nded.Pearson Education Limited, 2005.
19. P. W. Atkins and J. D. Paula,"Physical Chemistry", 9th ed., Oxford University Press, 2010 .
20. M. Al-deleimy,CorrelationalStudyof Vibrational Frequencieswith Bond Orders of CC Bonds inPolycyclicAromatic Molecules: Perylene , Corannuleneand Coronene and Their Positive and NegativeRadical Ions UsingQuantum Mechanical Calculations*M.Sc. thesis*, College of Science, Baghdad University, 2005 .
21. R. M. Kubba and H. Hade, *National Journal of Chemistry*, Vol. 20, pp.471-481, 2005.
22. M. Shanshal and R. M. Kubba, *Jordan Journal of Chemistry*, Vol. 7, pp. 55-71, 2012 .
23. X.W. Li, E. Shibata and T. Nakamura,*Materials Transactions*, Vol.44, pp. 1004-1013, 2003 .
24. E. Lewars, "Computational Chemistry", 1st ed., Kluwer Academic Publishers, 2004 .
25. C. K. Jorgensen, "Continuum effects indicated by hard and soft anti-bases(Lewis acids) and bases",1st ed., university of Geneva, 1974 .
26. L. H. Mendoza-Huizar and C. H. Rios-Reyes, *J. Mex. Chem. Soc.*, Vol.55, pp.142-147, 2011.
27. Z. Rui-Rhou, L. Xiao-Hong and Z. Xian-Zhou, *Indian Journal of Pure and Applied Physics*, Vol.50, pp.719-726, 2012 .
28. C. J. Cramer, "Essentials of Computational Chemistry Theories and Models", 2nd ed.,John Wiley & Sons Ltd, 2004 .
29. R. G. Parr, L. v. Szentpály and S. Liu, *J. Am. Chem. Soc.*, 121, 1922, 1999 .
30. K. H. Kim,Y. Han andJ. Jung,*Theor. Chem. Acc.*, Vol.113, pp.233–237, 2005 .
31. G. Lever, D. J. Cole, N. D. M. Hine, P. D. Haynesand M. C. Payne,*J. Phys.: Condens. Matter*, Vol.25, pp.7, 2013.
32. D. Vanfleteren, D. V. Neck, P. W. Ayers, R. C. Morrison and P. Bultinck, *J. Chem. Phys.*, Vol.130, pp.1-10 , 2009 .

33. F. J. Himp sel, J. A. Knapp, J. A. VanVechten and D. E. Eastman, *Physical ReviewB*, Vol.20, pp.624-627, 1979 .
34. C. Zhan, J. A. Nichols and D. A. Dixon, *J. Phys. Chem.*, Vol.107, pp.4184-4195, 2003 .
35. M. R. Leach,*Found Chem*, Vol.15, pp.13–29, 2013 .
36. L. Pauling, *J. Am. Chem. Soc.*, Vol.54, pp. 3570–3582, 1932 .
37. R. S. Mulliken, *J. Chem. Phys.*, Vol.2, pp.782, 1934 .
38. R. G. Pearson,*J. Am. Chem. Soc.*, Vol.107, pp.6801-6806, 1985 .
39. R. G. Pearson, *Proc. Nati.Acad. Sci.*, Vol. 83, pp. 8440-8441,1986.
40. R. G. Pearson, *J. Chem. Sci.*, Vol. 117, pp. 369–377, 2005 .
41. M. V. Putz, *MATCH Commun. Math. Comput. Chem.*, Vol.64, pp.391-418, 2010 .
42. E. Chamorro, J. C. Santos, C.A. Escobar and P. Pe rez, *Chemical Physics Letters*, Vol.431, pp.210–215, 2006 .
43. M. J. S. Dewar and G. P. Ford, *J. Am. Chem. Soc.*, Vol.99, pp.6, 1977.
44. T. Koopmans, *Physica (Elsevier)* ,Vol. 1, pp. 104-113, 1934.
45. M. B. Smith and J. March , "March's advanced organic chemistry" , 6th ed. ,John Wiley & Sons Ltd, 2007 .
46. F. A. Carey and R. J. Sundberg , " Advanced organic chemistryPart A. Structure and Mechanisms" , 5th ed. ,Springer , 2007 .
47. S. S. Zumdahl and S. A. Zumdahl , "Chemistry", 7th ed. ,Houghton Mifflin Company Boston New York , 2007 .